

CALCIMETRIAS

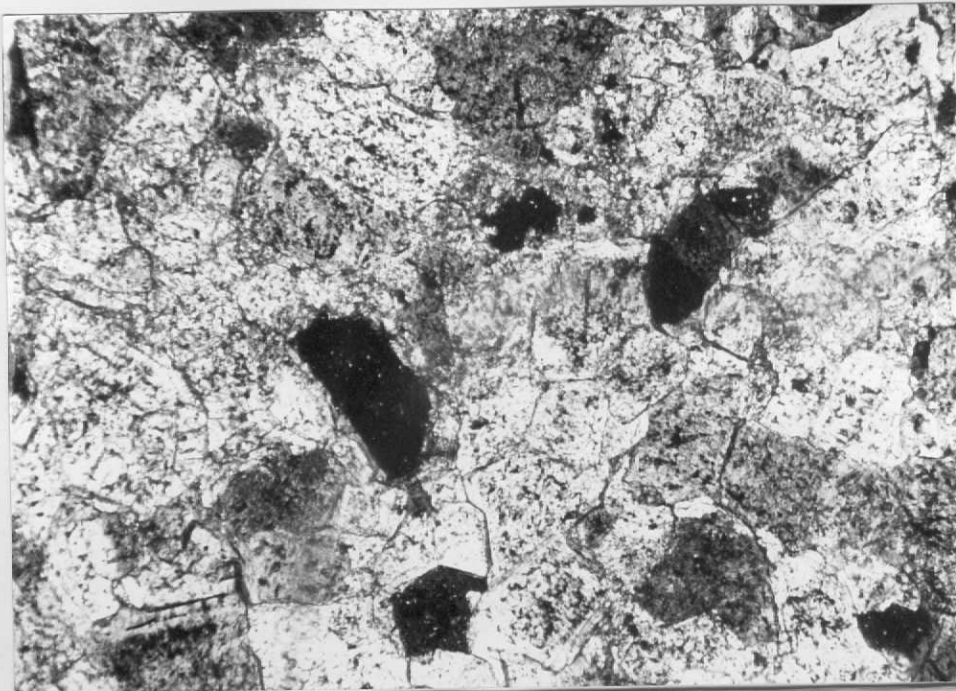
nº muestra	cc de CO ₂	CO ₂ Ca
1103.....	41.5.....	69 %
1105.....	24.5.....	40 %
1106.....	37.0.....	61 %
1108.....	41.0.....	68 %
1112.....		
1114.....		
1202.....	44.0.....	73 %
1205.....	8.0.....	13 %
1301.....	46.5.....	77 %
1305.....	13.5.....	22 %
1309.....	59.0.....	97 %
1309 bis.....	43.0.....	71 %
1311.....	28.0.....	46 %
1314.....	41.5.....	68 %
1401.....	50.0.....	83 %
1403 a.....	22.5.....	37 %
1403 c.....	43.0.....	71 %
1404.....	49.5.....	82 %
1501.....	52.0.....	86 %

Muestra

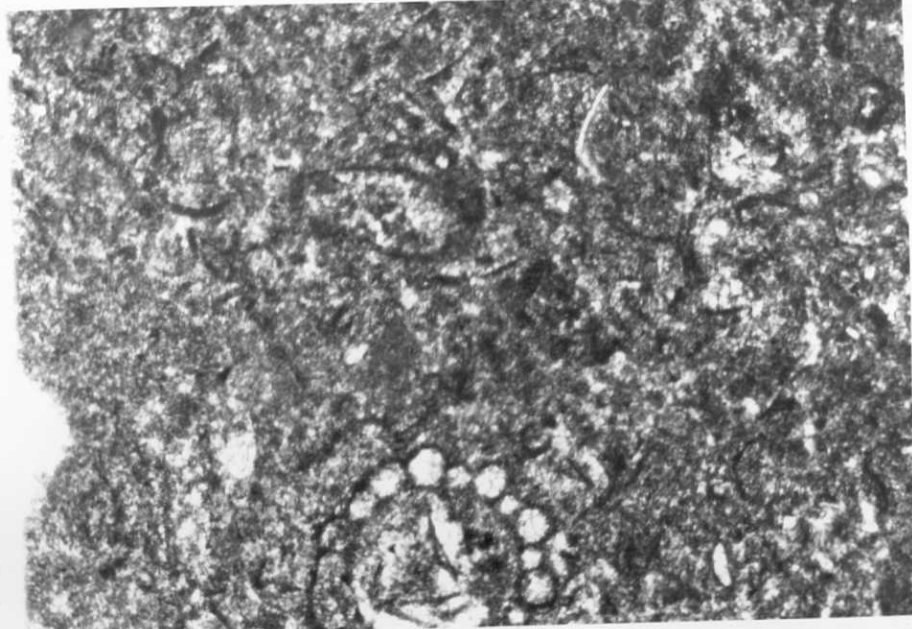
LS 100

× 10

NC



Aspecto del granito calcoalcalino de Prades, fuertemente
meteorizado



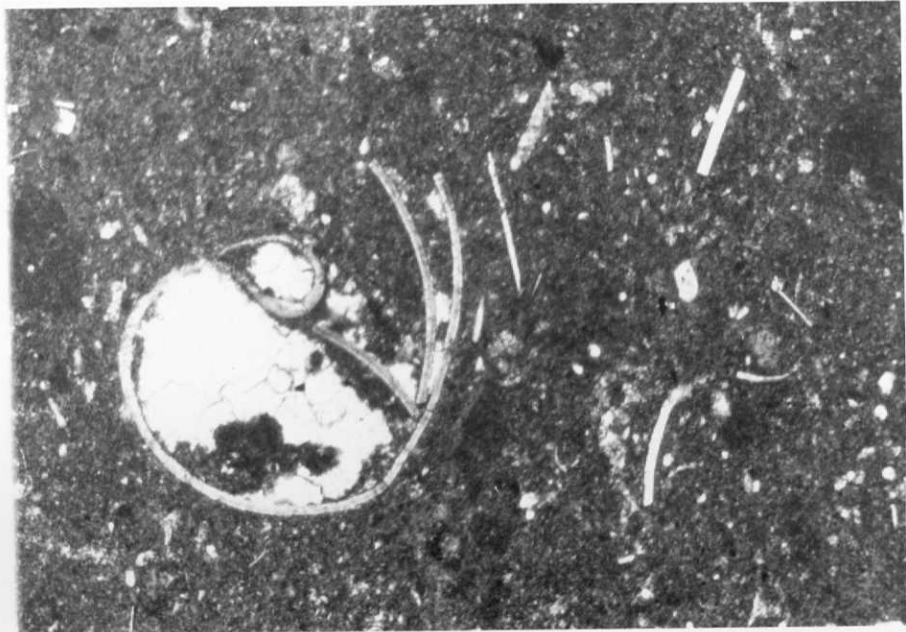
Micrita con fósiles: micrita con abundantes restos de gasterópodos (Planorbis, etc.) y vegetales (Carófitas). Se observa una sección ecuatorial de carófita, con cavidades llenas de calcita espática. Se aprecia en la matriz la aparición de microesparita así como núcleos de dismicrita.

Niveles calcáreos de la Punta de Rafols.

1007

x40

LN



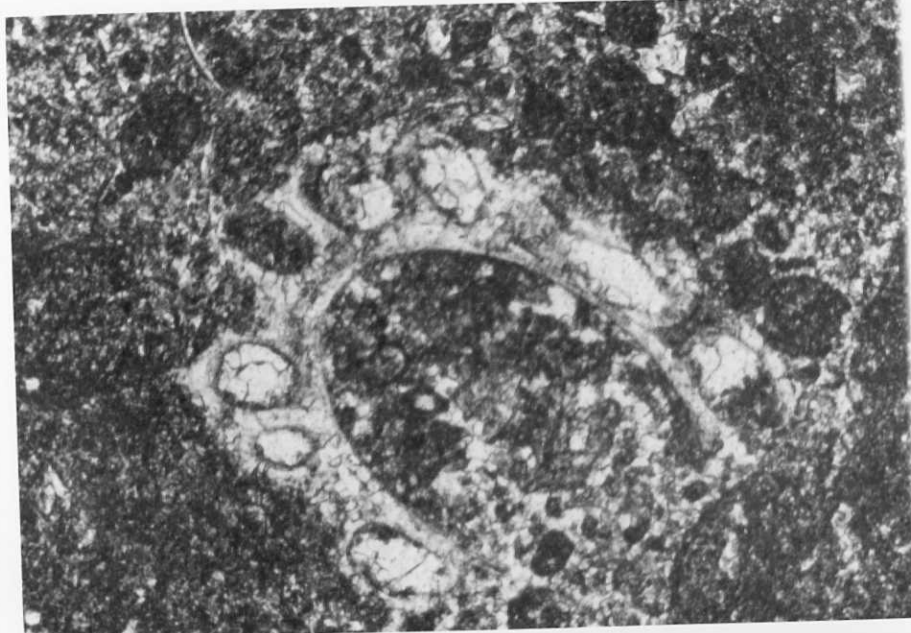
Micrita con fósiles: micrita con fragmentos de gasterópodos (*Planorbis*) algunos fragmentos de ostrácodos y restos de vegetales (secciones de tallos). Se aprecia microesparita en la matriz, nucleos de calcita espática en los fósiles.

Niveles calcáreos de Punta de Rafols.

1008-1

x40

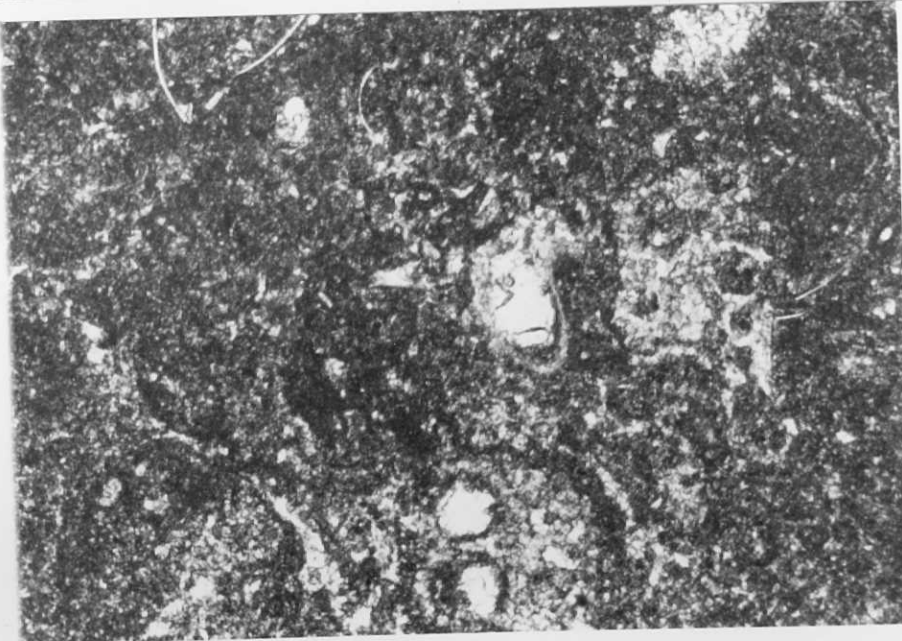
LN



1008-2

x40

LN



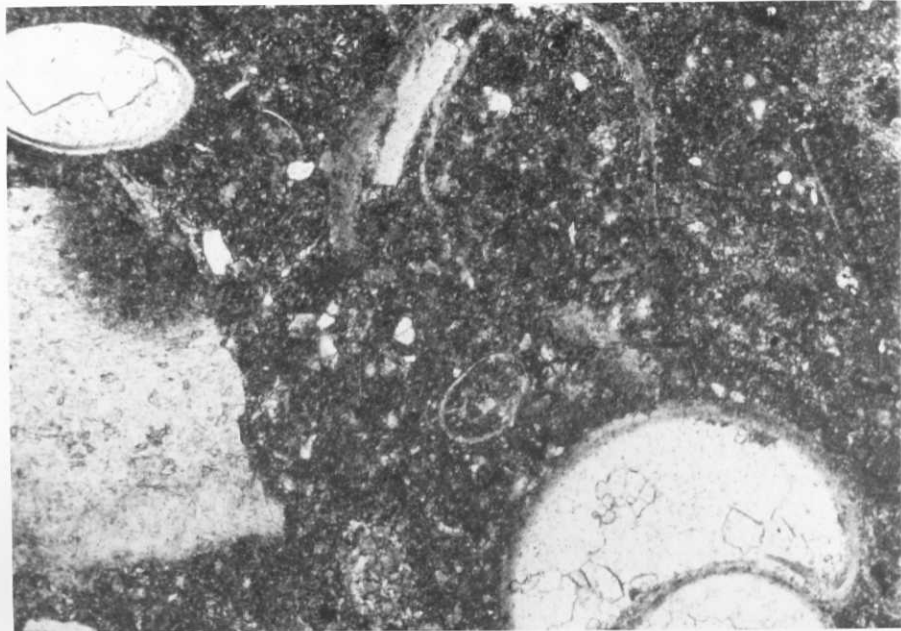
Micrita con fósiles. Se aprecian secciones de oogonios de carófitas (A) y ostracodos (B) normalmente muy fragmentados. Matriz muy afectada por microesparita y núcleos de dismicrita.

Niveles calcáreos del Monte Penjat.

1009

x40

LN



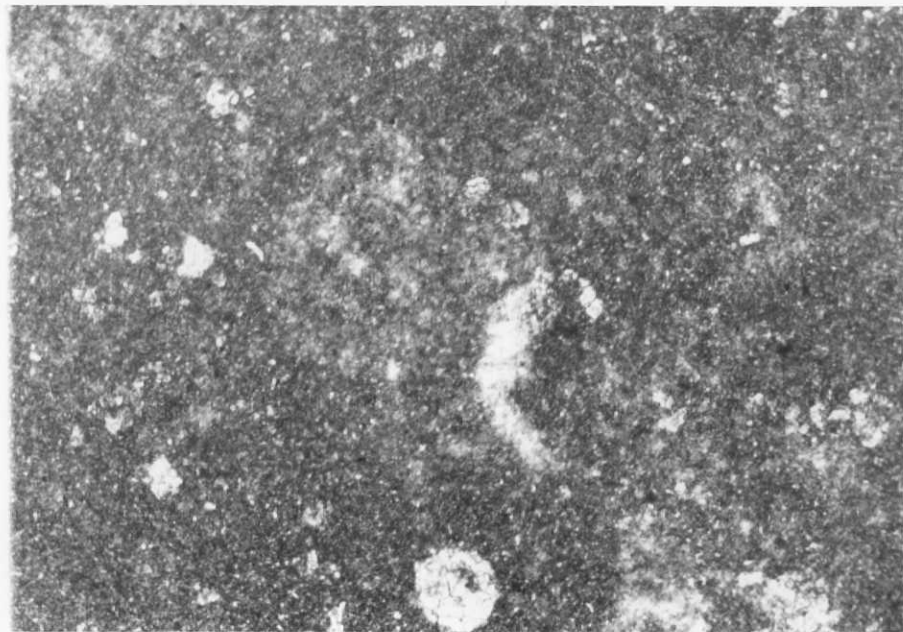
Micrita con fósiles. Abundantes moluscos (¿Limneas?) y secciones de ostrácodos. Microesparita incipiente y núcleos de calcita espática relacionada con los fósiles.

Niveles calcáreos de Fulleda.

1010

x40

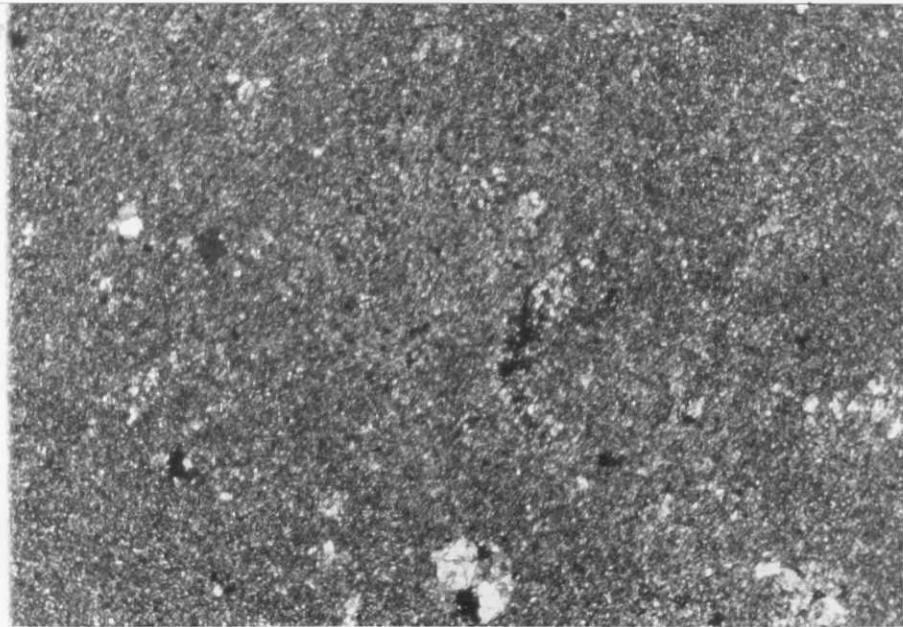
LN



1010

x40

NC

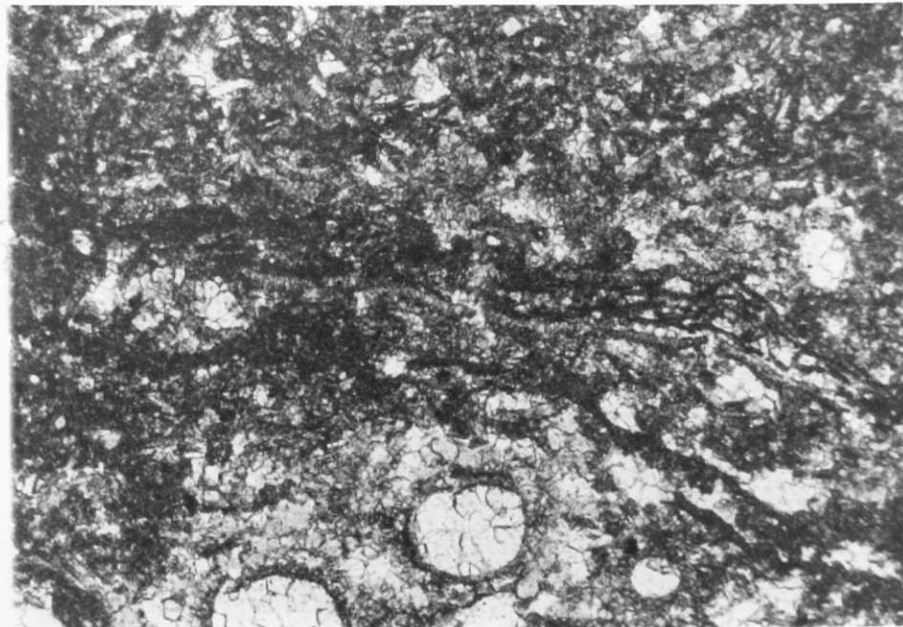


Micrita. Se aprecia la aparición de microesparita y núcleos de dismictita. Escasos restos de fósiles totalmente recristalizados. Niveles calcáreos de Fulleda.

1014

x40

LN

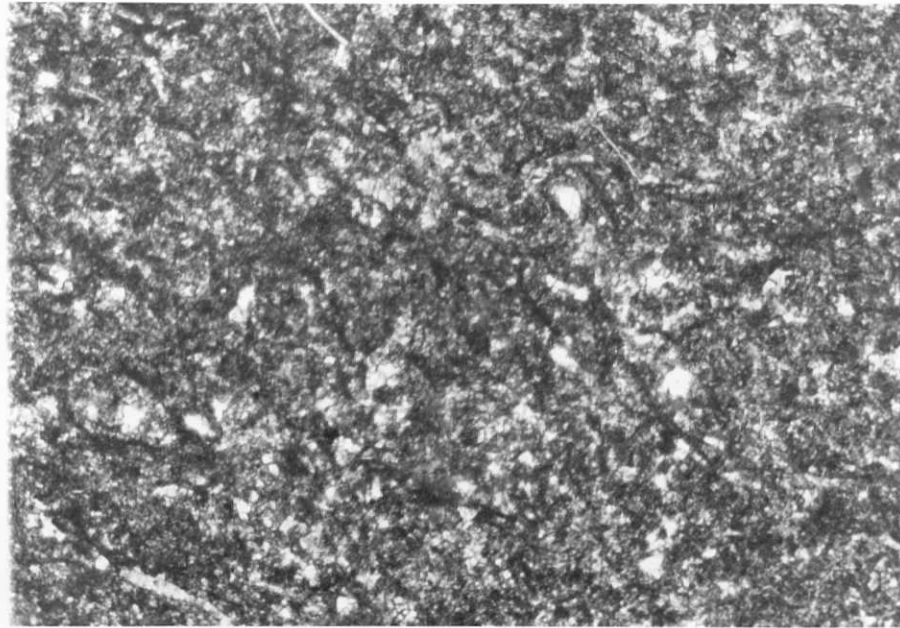


Micrita con fósiles. Restos orgánicos muy abundantes, predominando los vegetales, en su mayor parte sustituidos por calcita espástica. Es abundante, también, la microesparita que afecta a la matriz. se aprecian indicios de laminación por ordenación de fragmentos orgánicos.
Sierra Marquesos.

1018

x40

LN



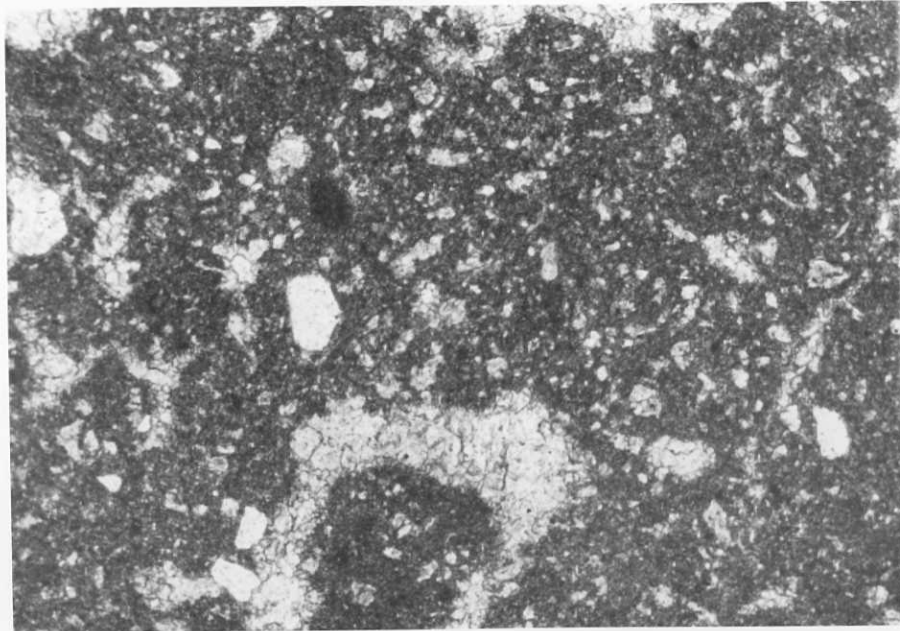
Micrita. En la lámina se observan escasos restos orgánicos (pequeños fragmentos de ostrácodos y moluscos) pese a que se trata de un nivel que contiene abundantes gasterópodos (*Planorbis*).

Collado de Montblanquet.

1019

x40

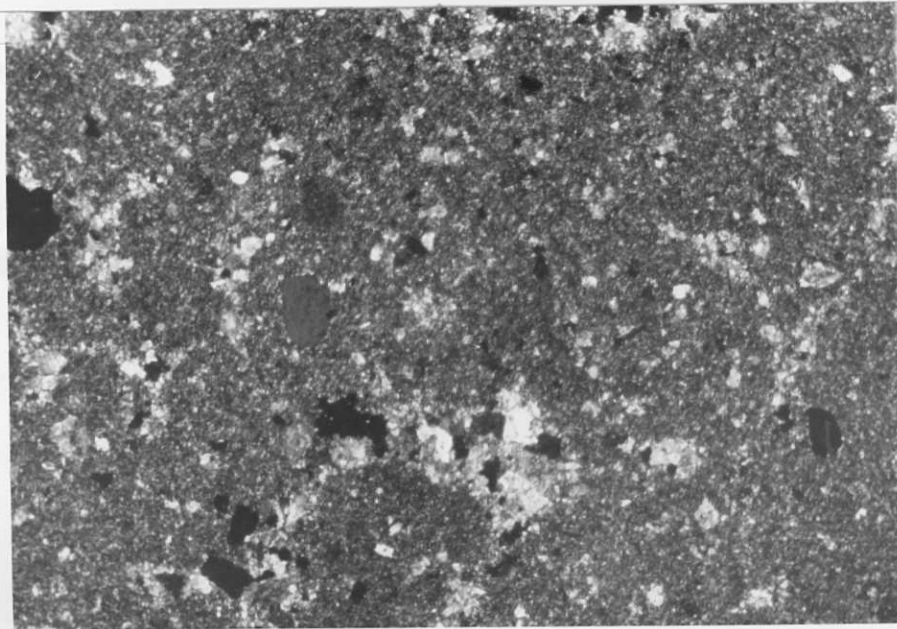
LN



1019

x40

NC



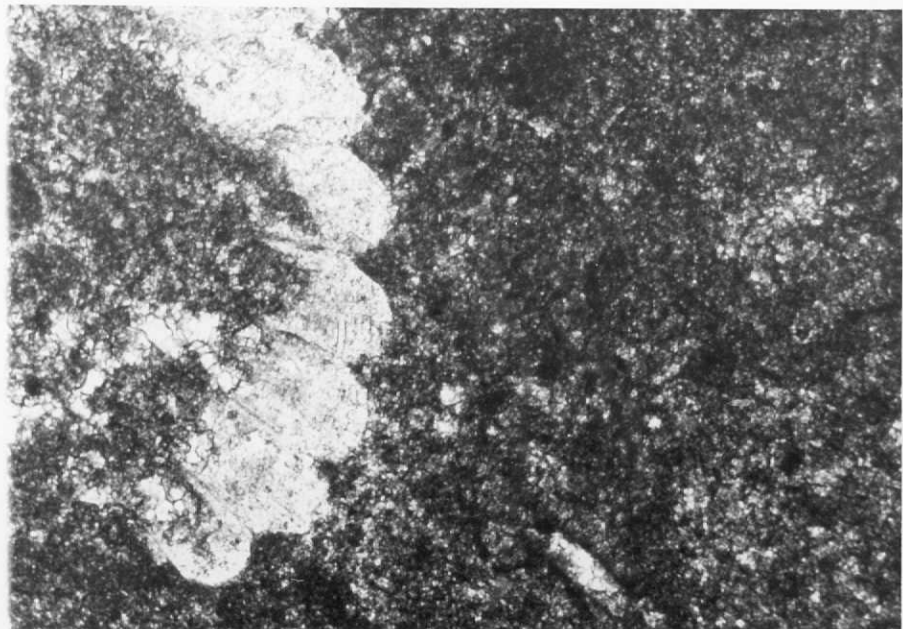
Micrita con fósiles. Calizas rosadas de la base de la serie continental. Restos de plantas (Carófitas) totalmente recristalizados. Granos dispersos de terrígenos, tamaño limo y arena muy fina. Abundan la microesparita y los nucleos de dismicrita.

Mas de la Llana

1101-1

x40

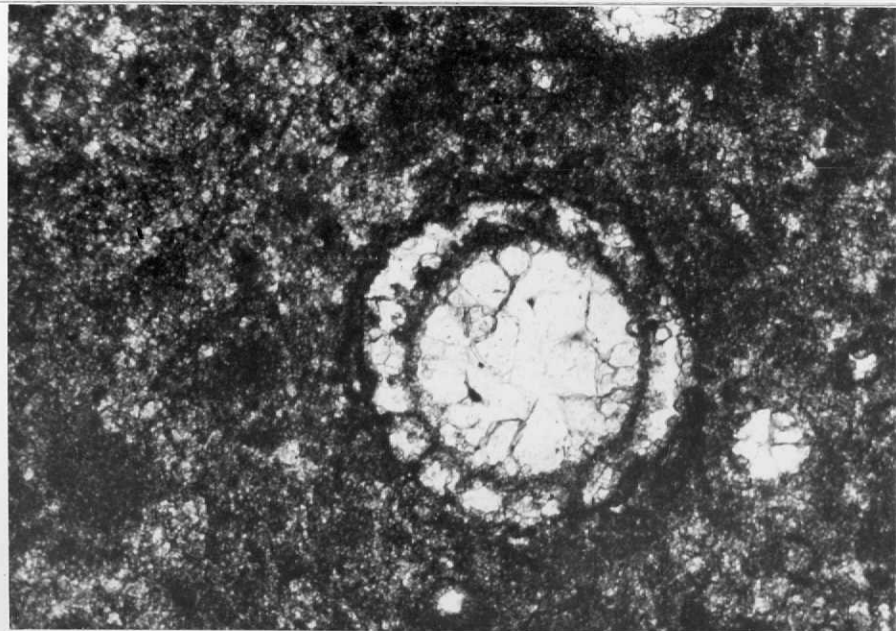
LN



1101-2

x40

LN

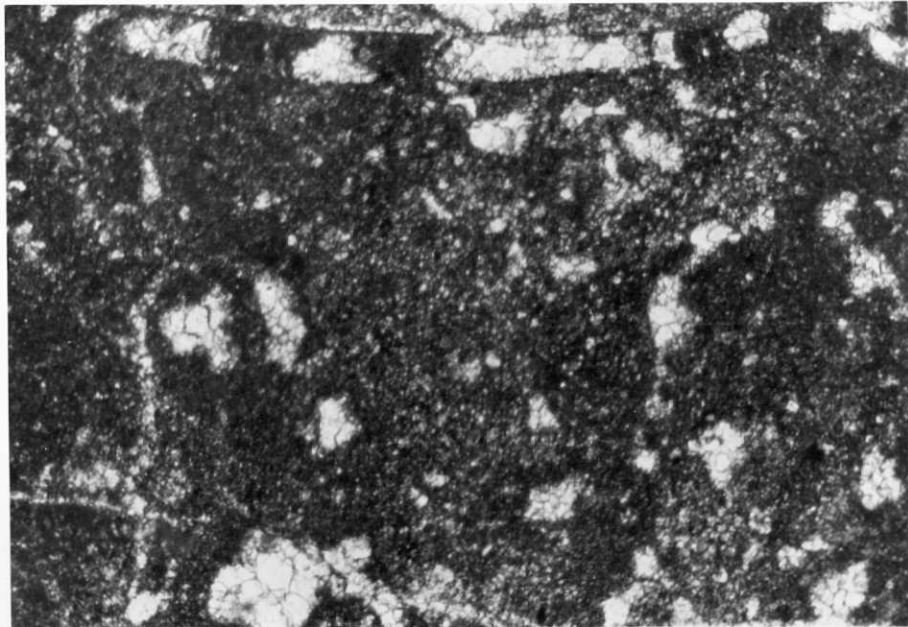


Micrita con fósiles. Calizas grises de la base de la serie continental, bajo las calizas rosadas. Frecuentes oogonios de carófitas muy recristalizadas. Se aprecia paso a microesparita en la matriz y núcleos de dismicrita.
Ermita de San Miguel.

1102

x40

LN

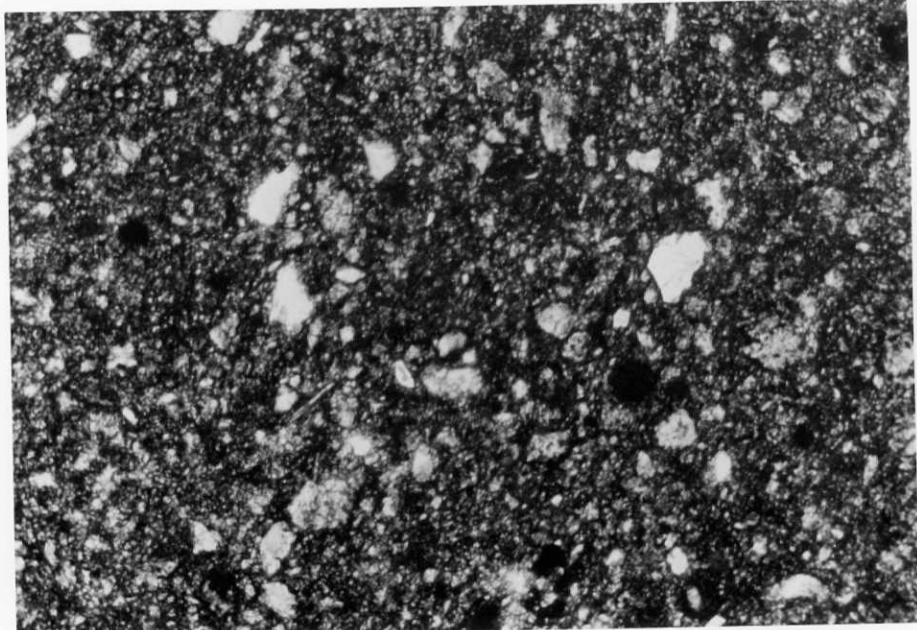


Micrita con fósiles. Caliza margosa rosada con fragmentos de moluscos y restos de carófitas, muy recristalizados. Escasos terrígenos de tamaño limo. Matriz con notable proporción de microesparita y abundantes núcleos de dismicrita.
Ermita de San Miguel.

1104

x40

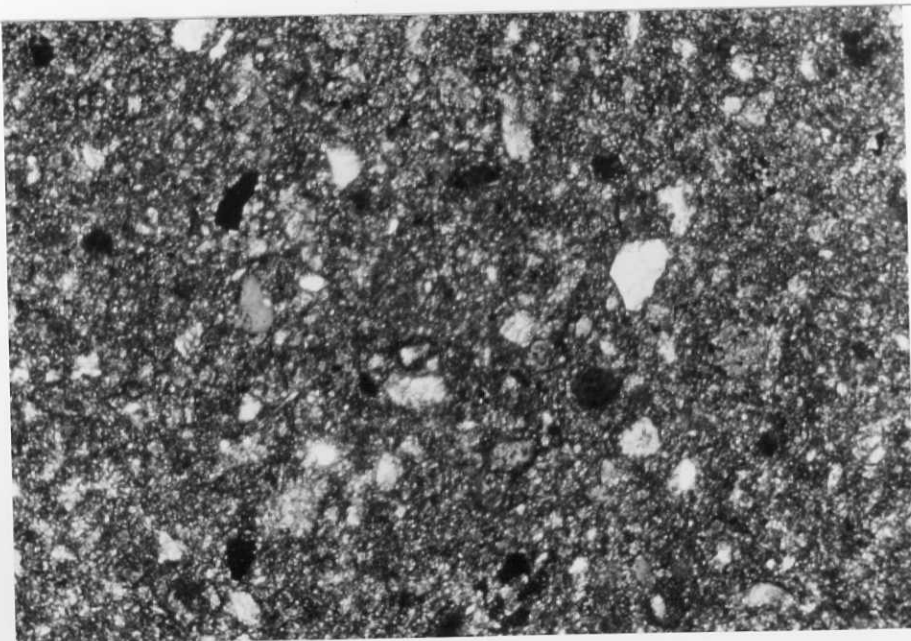
LN



1104

x40

NC



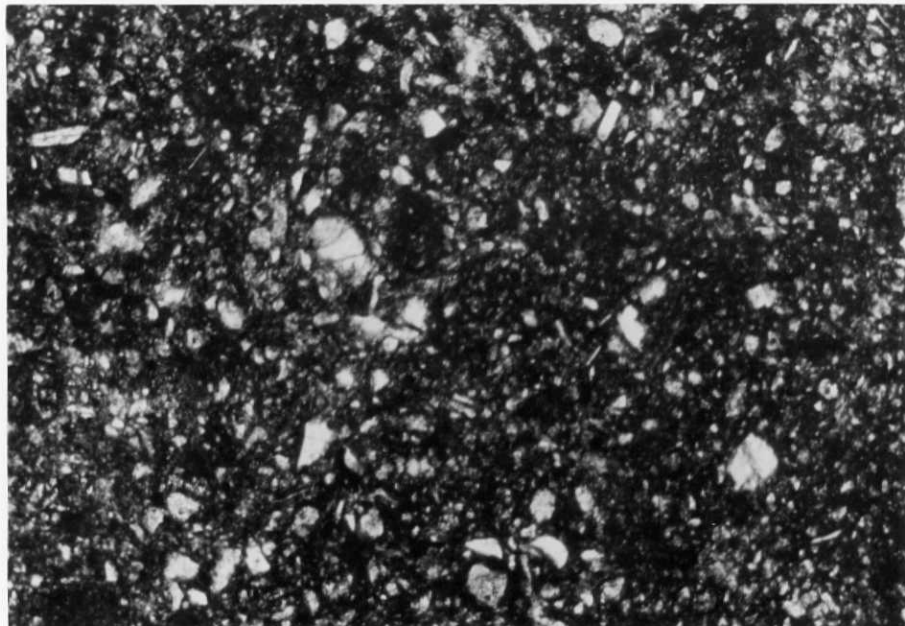
Micrita con terrígenos. Marga limosa con matriz micrítica y abundan-
tes terrígenos de tamaño limo y arena muy fina, fundamentalmente
de cuarzo y fragmentos de roca calcárea. Se observan zonaciones de
microesparita y dismicrita relacionada con los poros.

Carretera local de la Espluga de Francolí.

1110

x40

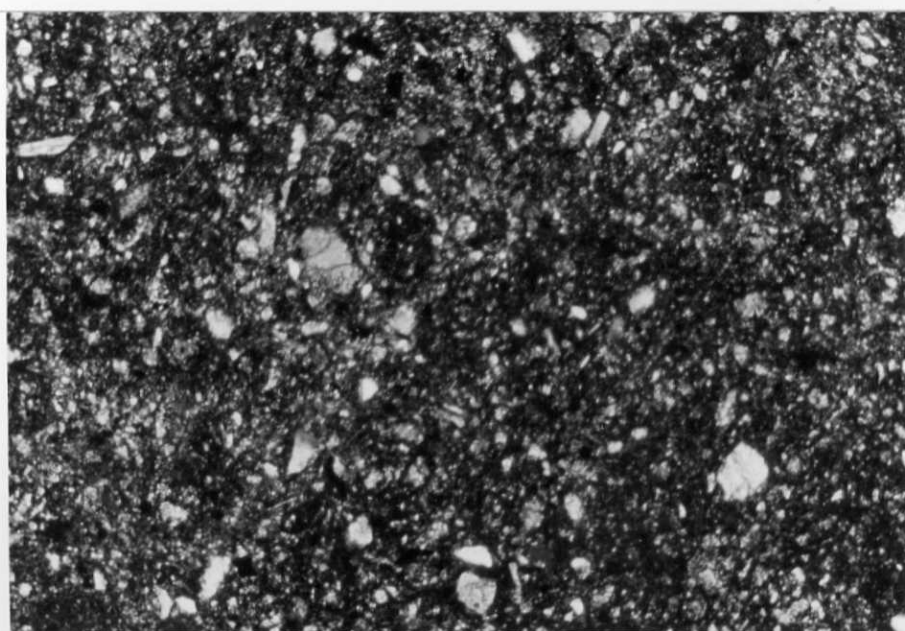
LN



1110

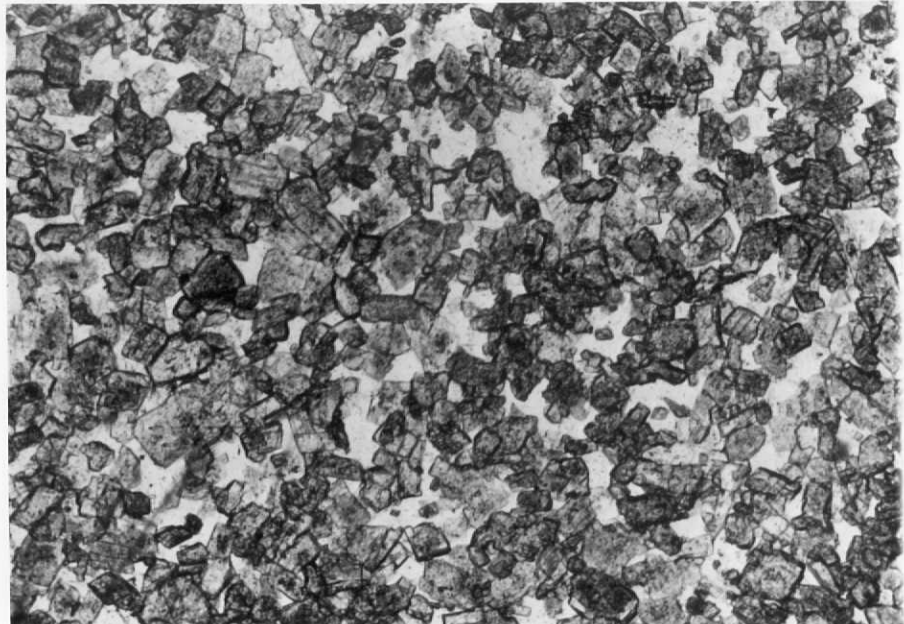
x40

NC

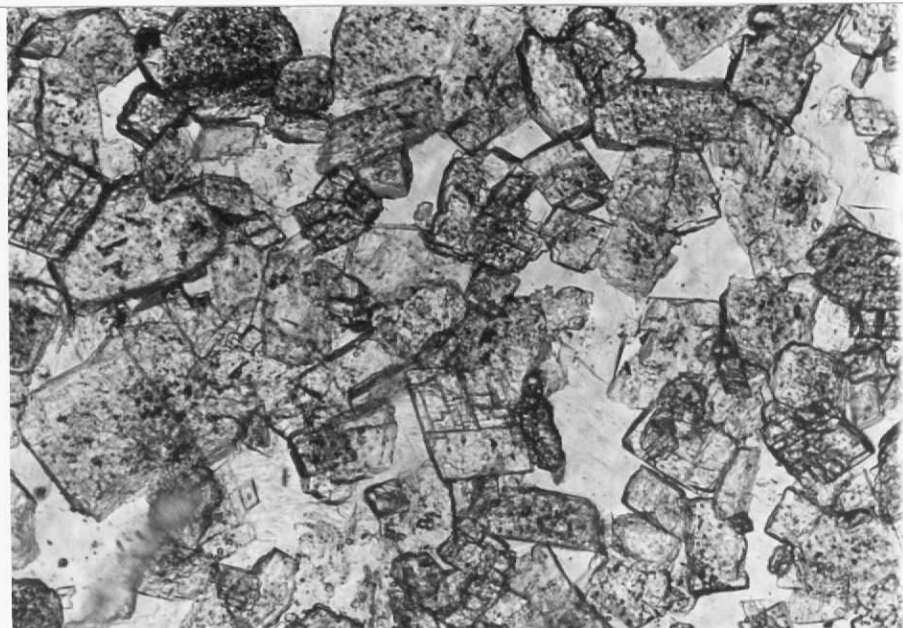


Micrita con terrígenos. Marga limosa de matriz micrítica y abundante terrígenos. Zonas con microesparita y restos de materia orgánica dispersa.

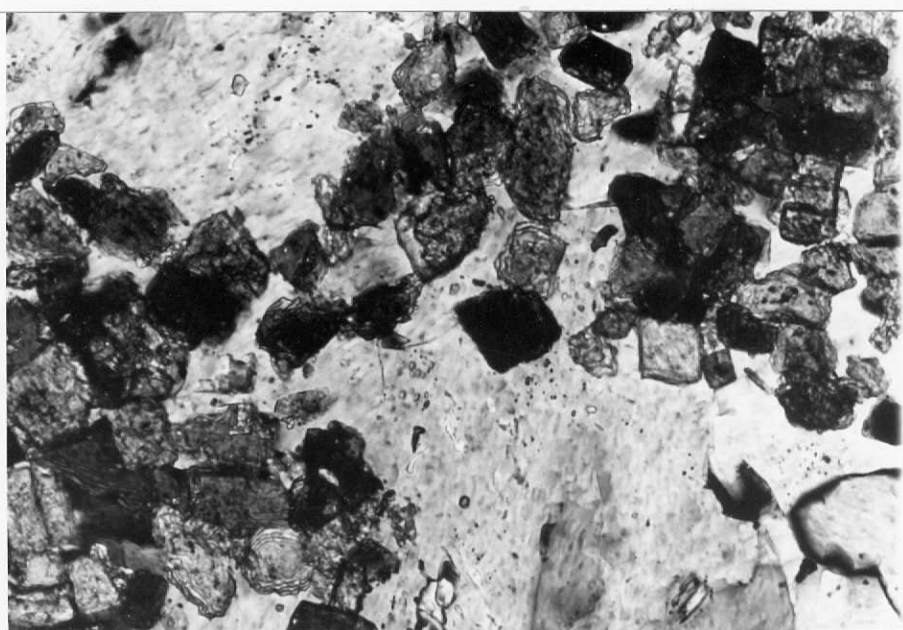
1111
x40
LN



1111
x100
LN



1111
x100
NC

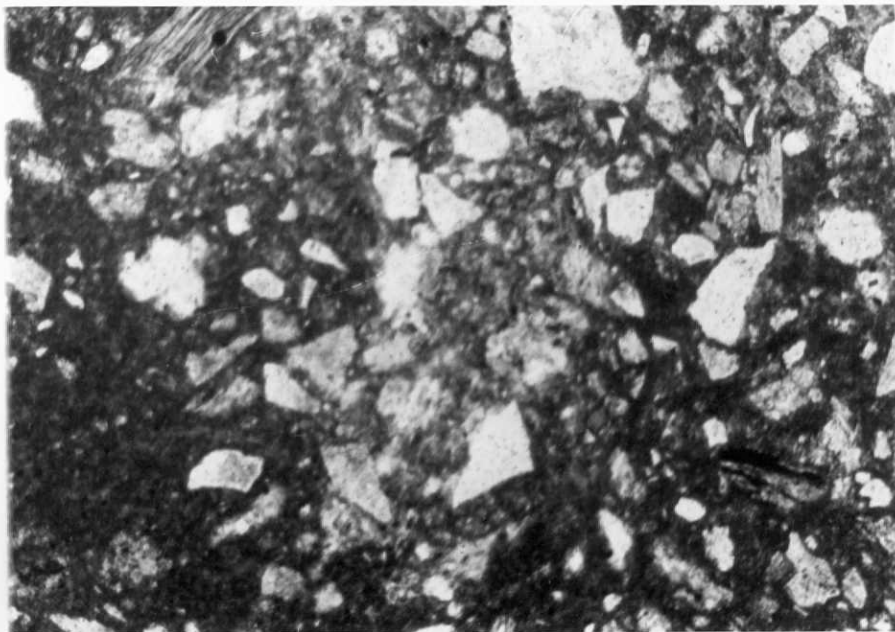


Yeso-anhidrita en estructura poiquilitica, con crecimientos idiotípicos (=porfiroides) de dolomita.

1113

x40

LN

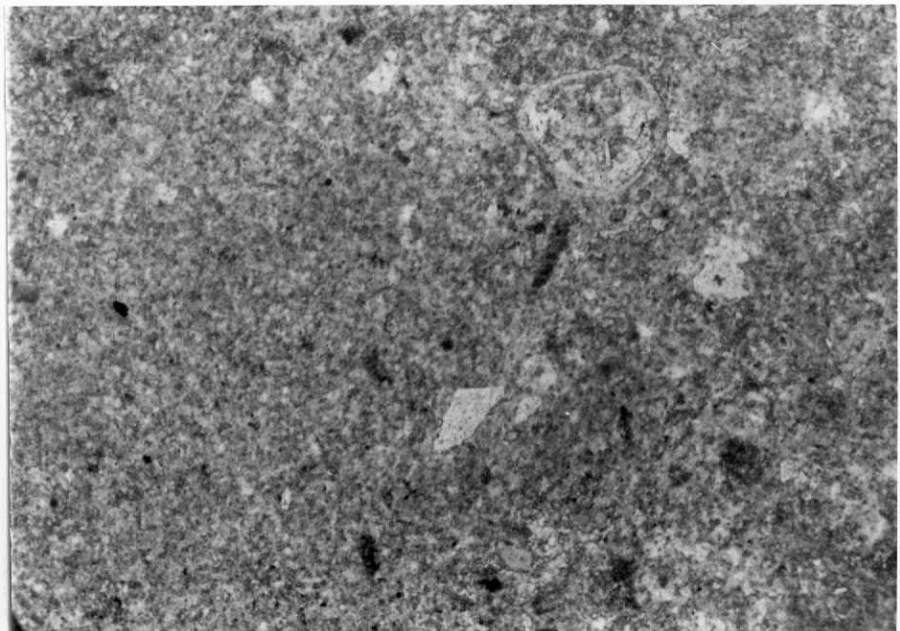


Micrita con abundantes terrígenos. Marga limo-arenosa con cuarzo, fragmentos de roca calcárea, mica, cuarcita, etc., tamaños arena fina-limo. Se observan nucleos dismictíticos que sugieren la posibilidad de núcleos oncolíticos redissueltos.

1115

x40

LN

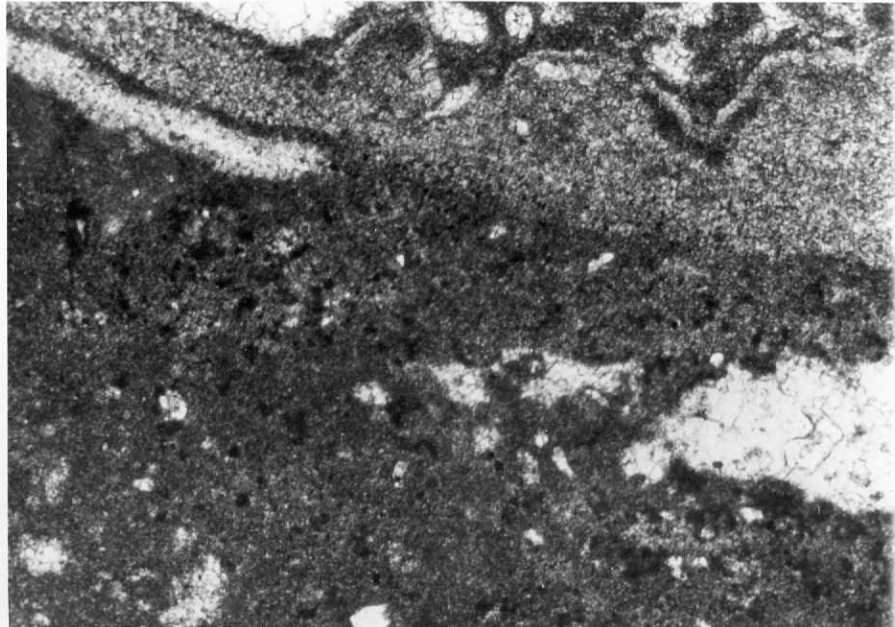


Micrita con fósiles. Caliza gris con escasos terrígenos. Restos de moluscos, ostrácodos y carófitas.
Nivel de Tarrés (base).

1116

x40

LN



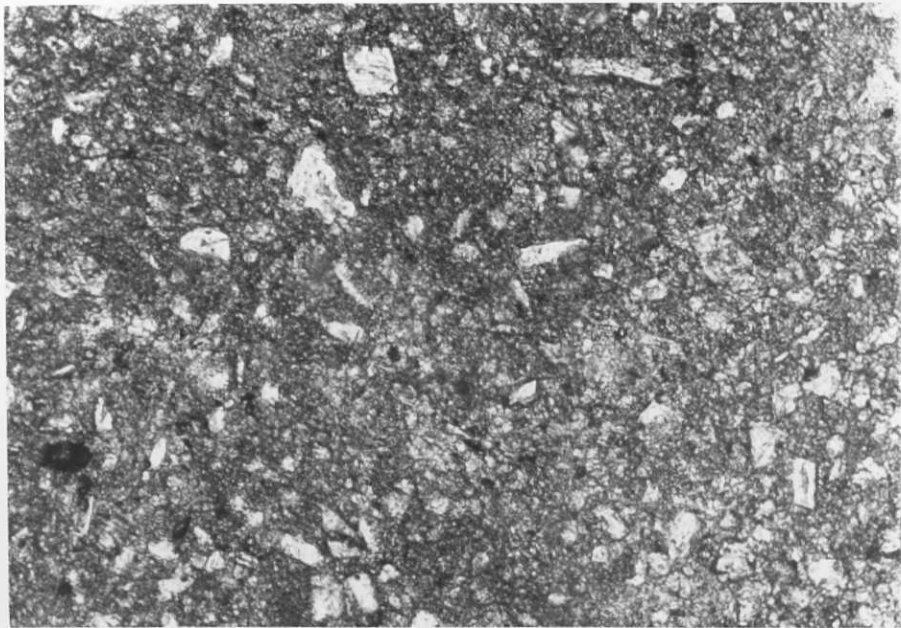
Micrita con fósiles. Caliza gris con abundantes restos vegetales y fragmentos de moluscos. Zonas de microesparita y numerosos nucleos de dismicrita.

Nivel de Tarrés.

1202

x40

LN

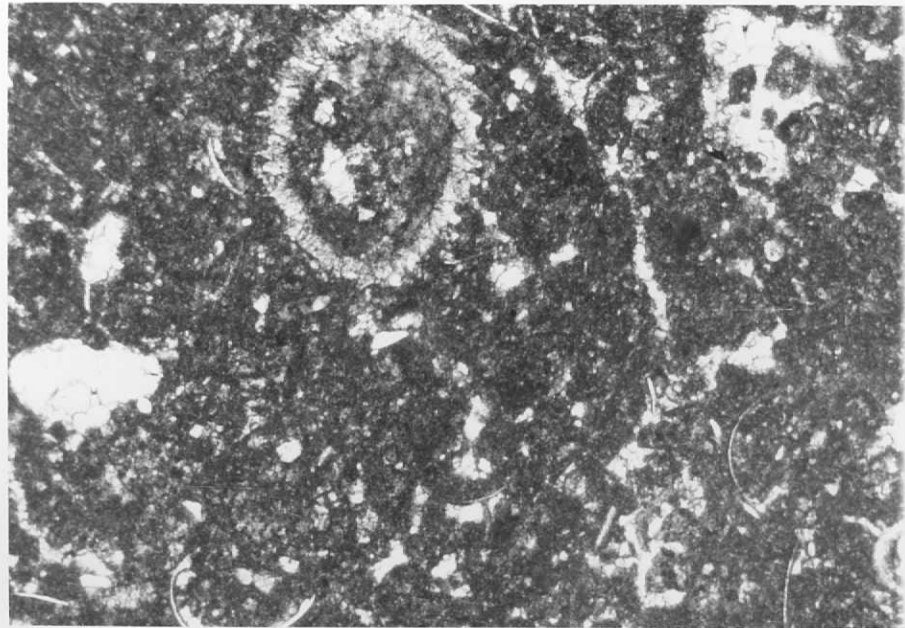


Micrita con terrígenos. Marga limo-arcillosa. Terrígenos, tamaño limo, de cuarzo, fragmentos de rocas calcáreas, mica, etc. dispersos en matriz micrítica muy arcillosa.

1203

x40

LN

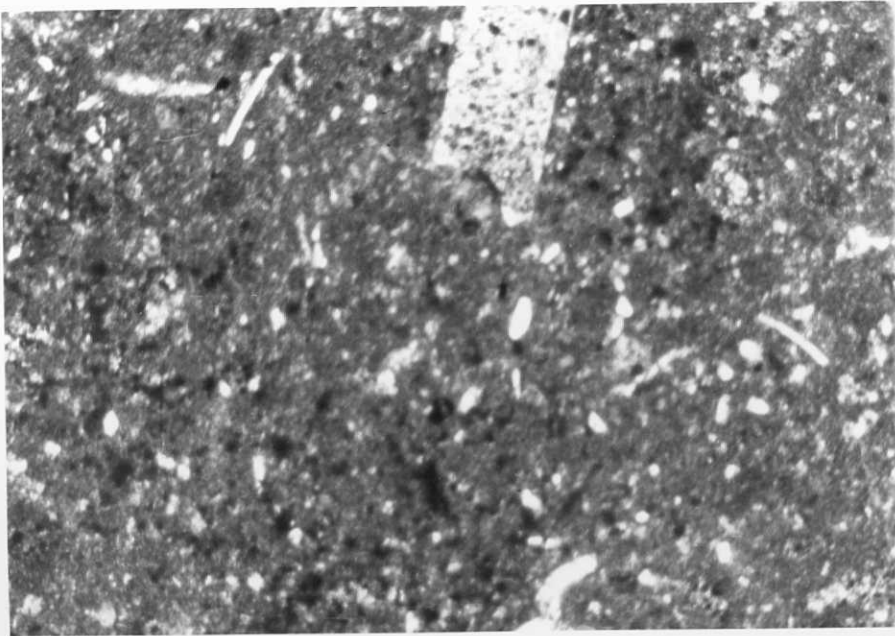


Micrita con fósiles. Caliza gris con abundantes restos orgánicos. Buenas secciones de carófitas y ostrácodos así como fragmentos de moluscos. Frecuentes núcleos de dismicrita relacionados con la porosidad.

1302

x40

LN

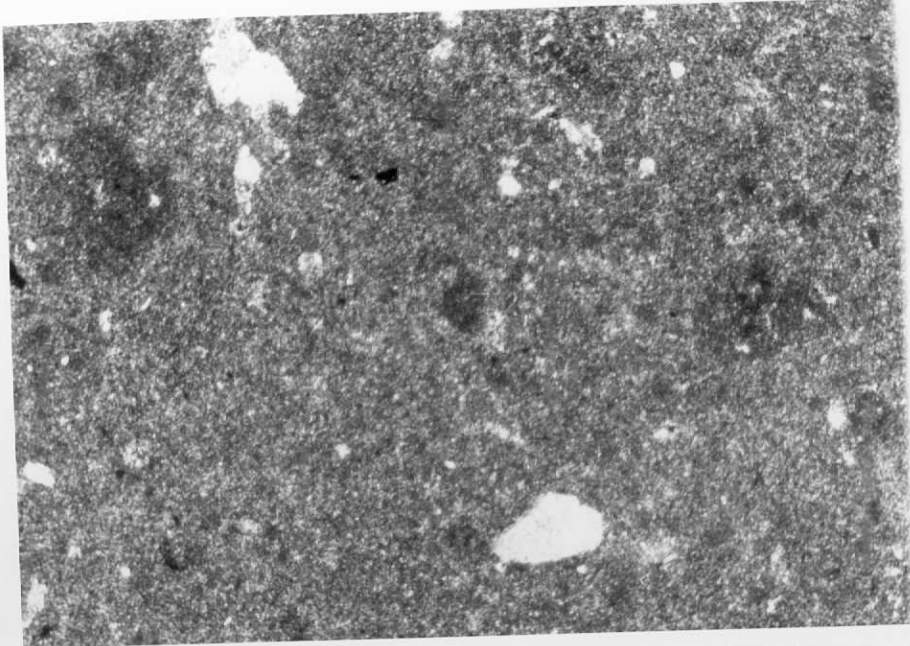


Micrita con fósiles. Caliza gris con conchas de gasterópodos (*Planorbis*) y restos vegetales. Escasos terrígenos (cuarzo), tamaño limo fino. Fósiles muy recristalizados. Zonas de microesparita incipiente. Vall de Comas de Vinaixa.

1308

x40

LN

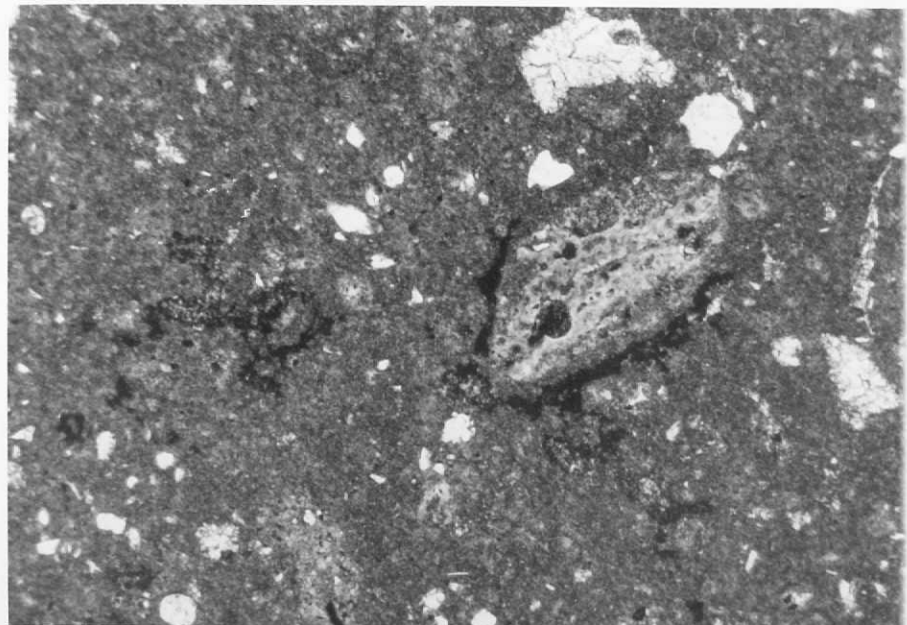


Micrita. Caliza arcillosa con escasos terrígenos dispersos predominan-
temente de cuarzo, tamaño limo. Escasos fragmentos de concha de molus-
cos. Núcleos dispersos de dismicrita.

1310

x40

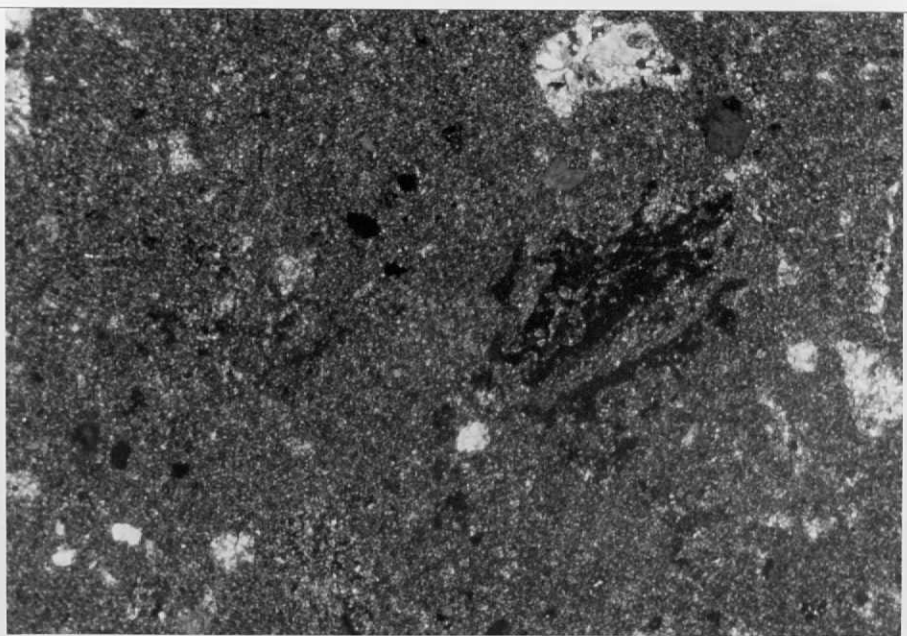
LN



1310

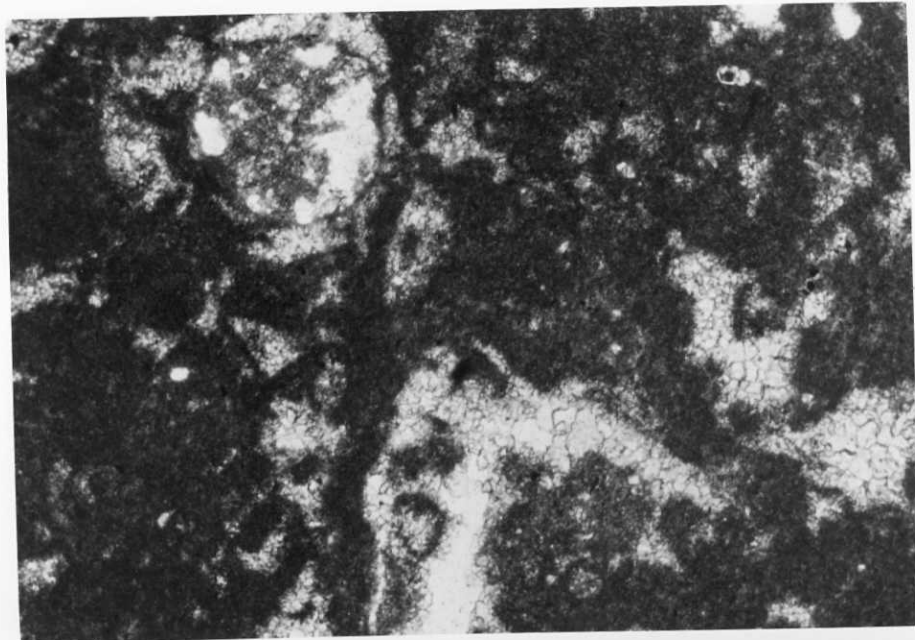
x40

NC

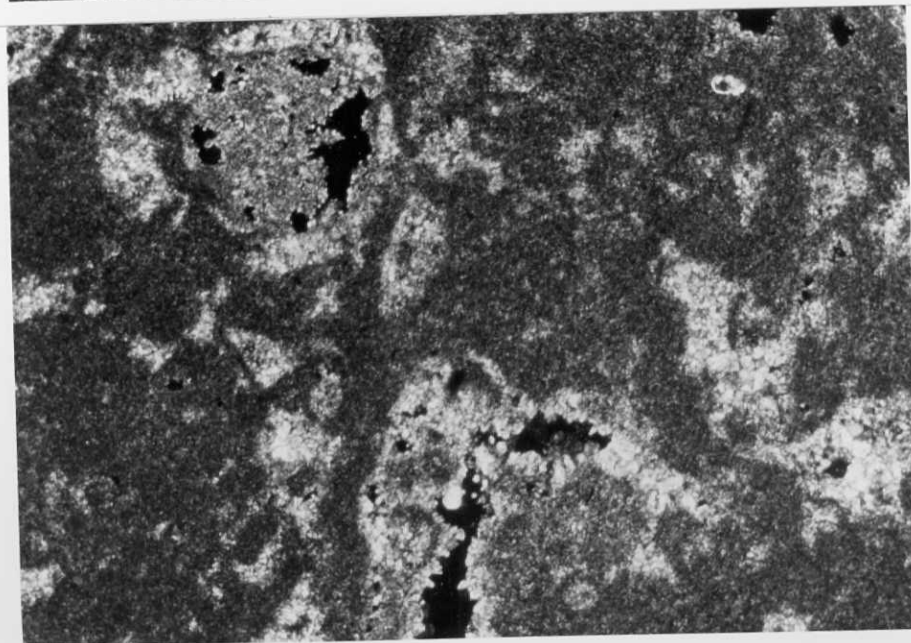


Micrita. Se aprecian restos orgánicos (algas y ostrácodos) y algunos intraclastos. Terrígenos dispersos de tamaño limo, fundamentalmente de cuarzo. Numerosos núcleos de dismicrita.

312
x40
LN



1312
x40
NC

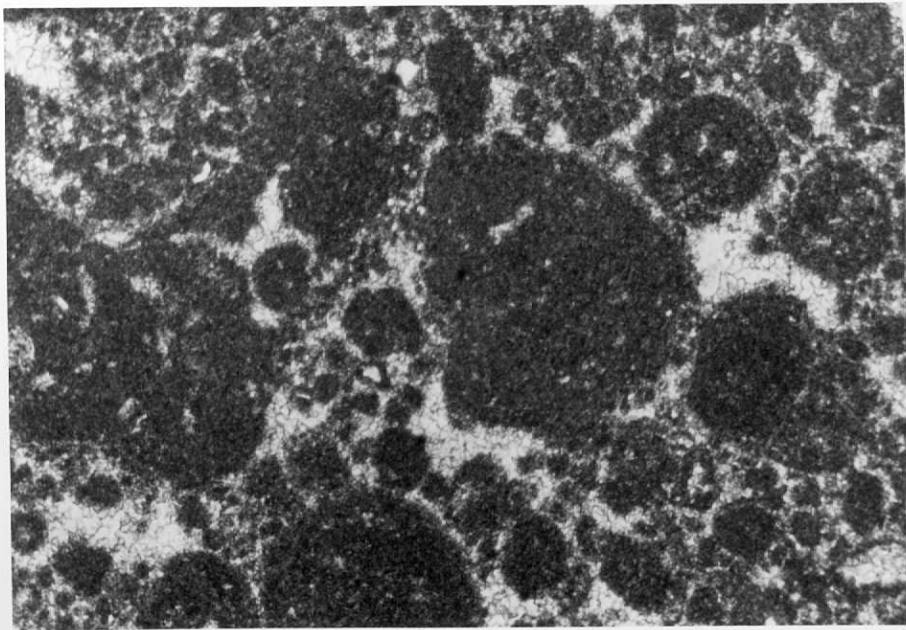


Micrita con fósiles. Caliza gris con carófitas y otros restos de vegetales totalmente recristalizados, dejando porosidad intercristalina. Núcleos de dismicrita muy numerosos.

1313

x40

LN

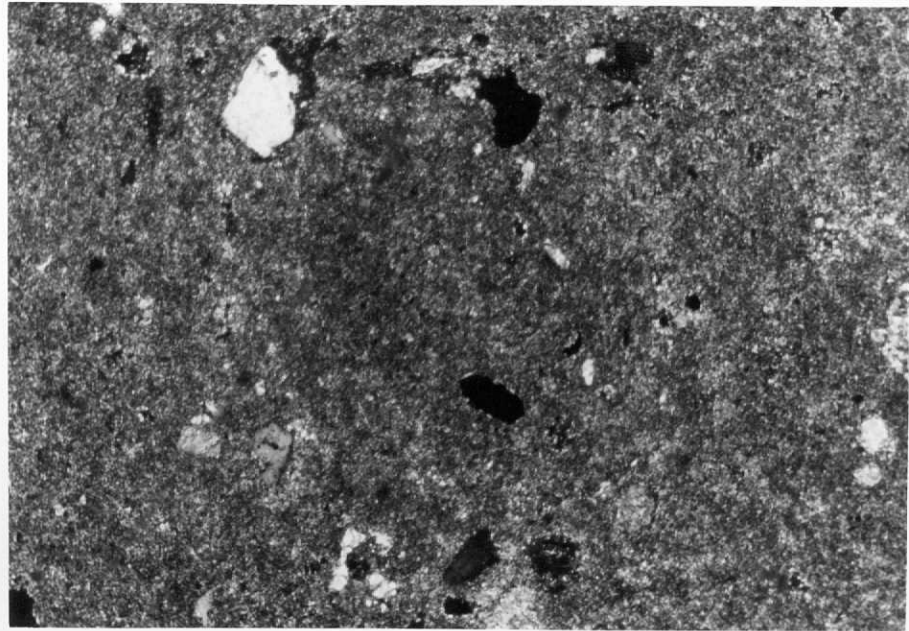


Micrita con elevada proporción de dismicrita y "pseudo pellets". Res-
tos de gasterópodos y algas. Escasa porosidad intercristalina.

1315

x40

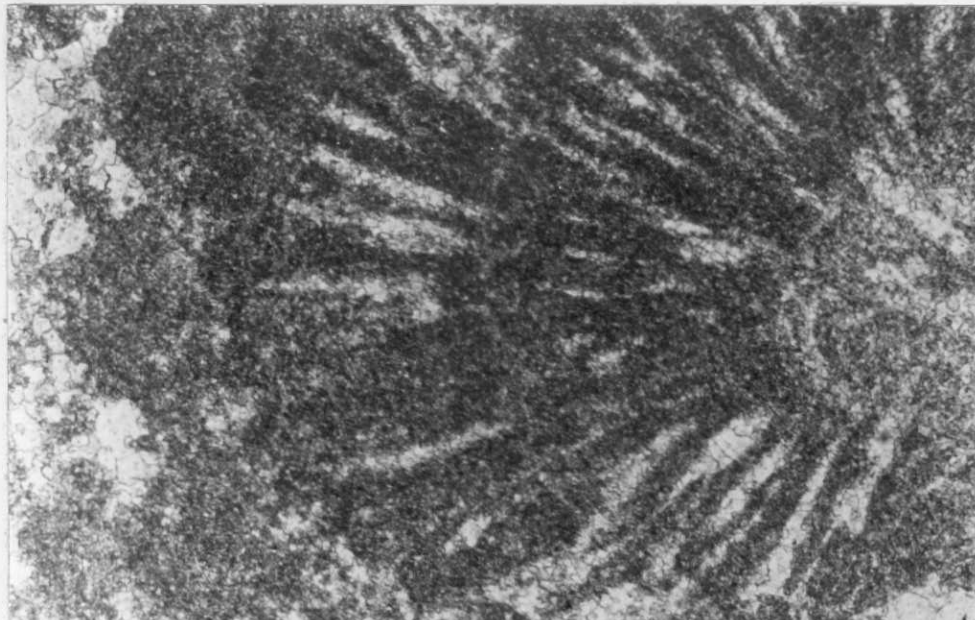
NC



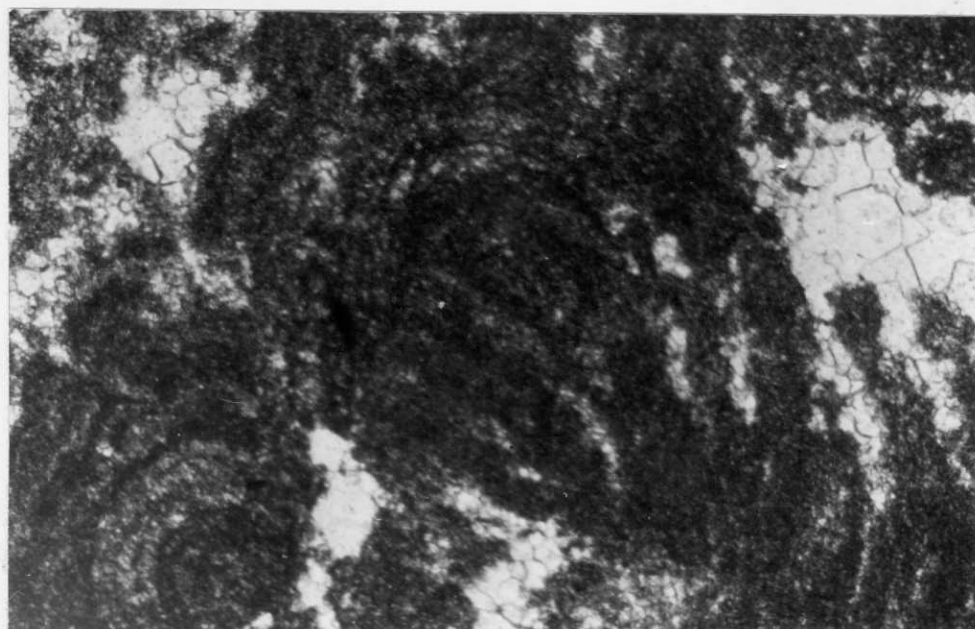
Micrita terrígena. Caliza limosa. Terrígenos tamaño arena muy fina-limo. Notable porosidad. Numerosas zonas de microesparita y nucleos de dismicrita.

Sierra de los Marquesos.

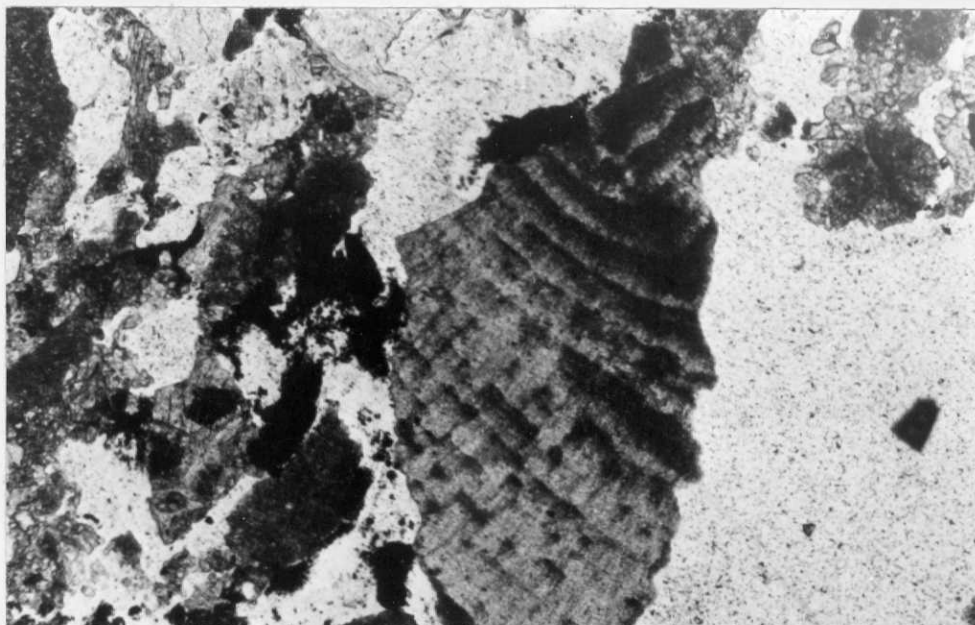
1402
x40
LN



1402
x40
LN



1402
x40
LN



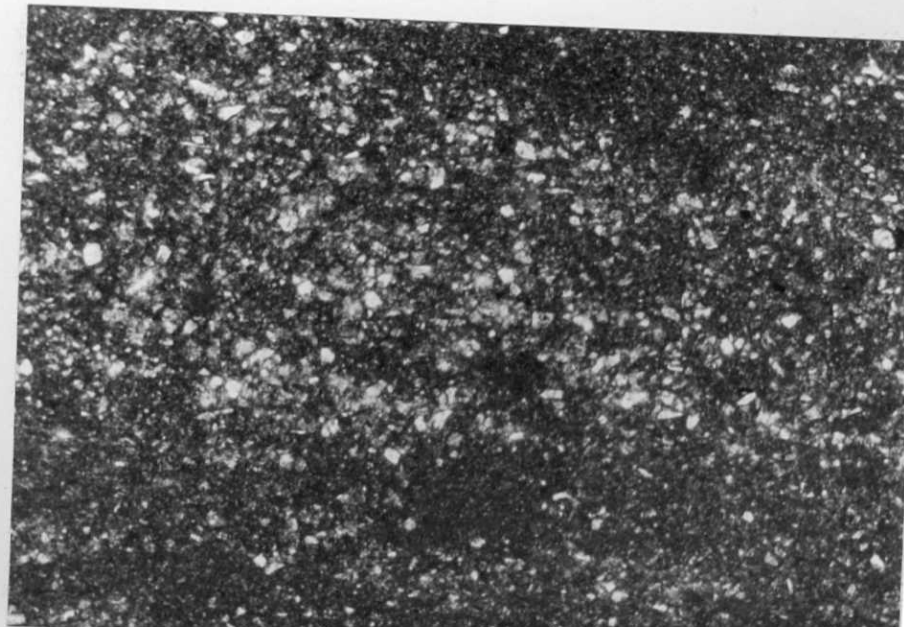
Arenisca. Terrígenos tamaño arena fina, muy fina y limo constituidos por fragmentos de roca calcárea (50%), cuarzo (20%), mica y feldespatos. Cemento de calcita espáctica. Se observan estromatolitos de cianoficeas (A,B) que sugieren la posibilidad de un ambiente litoral con influencia marina. En numerosos granos se observan fragmentos de foraminíferos (C) (orbitolinas del Cretácico).

Vilanova de Prades.

1403

x40

LN

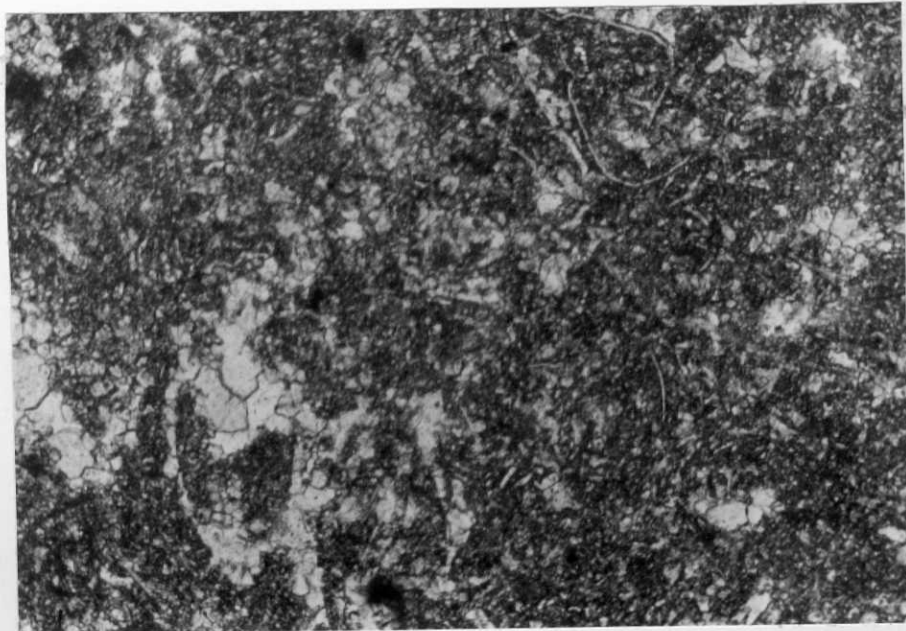


Micrita con terrígenos. Matriz micrítica. Terrígenos de cuarzo y fragmentos de caliza y dolomía; tamaño limo muy fino. Se aprecian trazas de laminación (posiblemente perturbada por "burrowing").
Sierra de la Llena.

1502

x40

LN

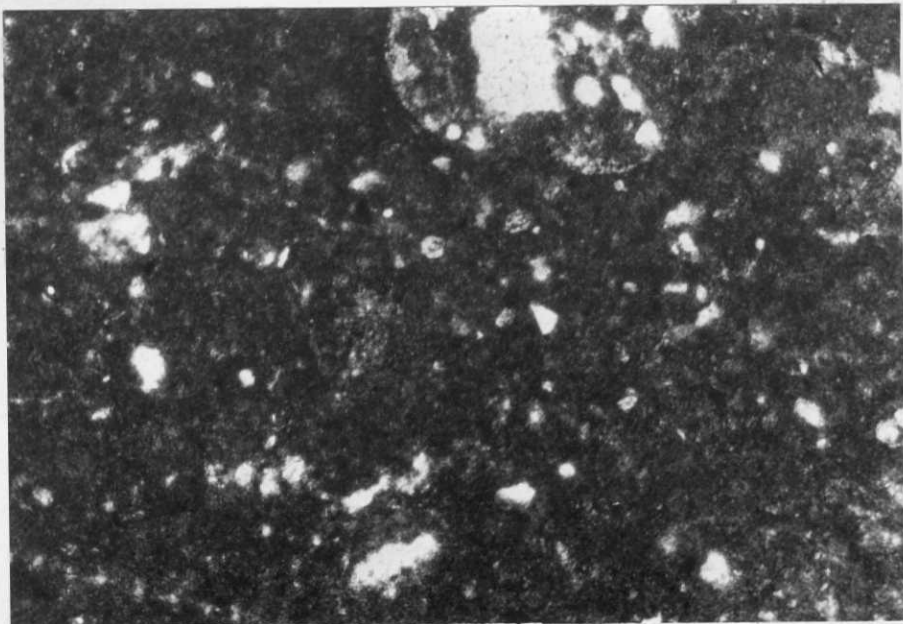


Micrita con fósiles. Caliza gris con abundantes carófitas y otros res
tos vegetales muy recristalizados. Restos de conchas de ostrácodos y
de gasterópodos. Notable proporción de microesparita en la matriz y
algunos núcleos de dismicrita.

1503

x40

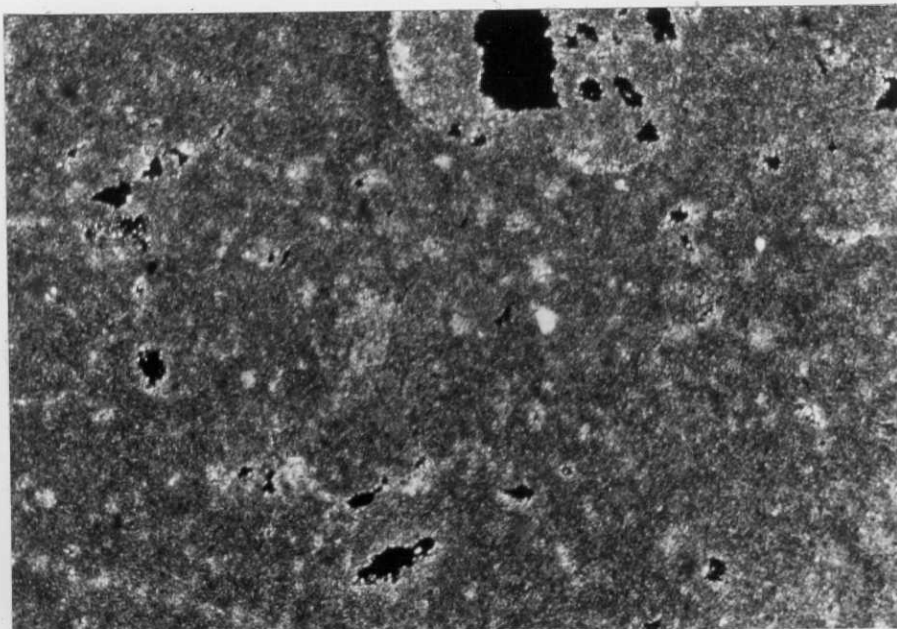
LN



1503

x40

NC

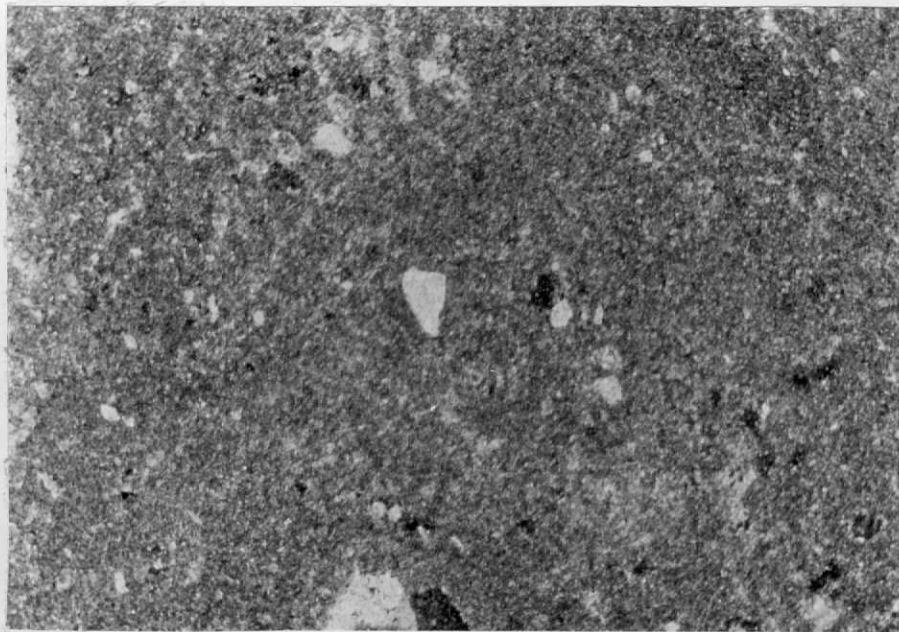


Micrita. Caliza gris margosa con aspecto brechoide. Restos de fósiles totalmente recristalizados. Elevada porosidad intercristalina. Abundante microesparita y numerosas inclusiones de dismierita. Escasos terri-
genos de tamaño limo, predominantemente de cuarzo.

1505

x40

LN



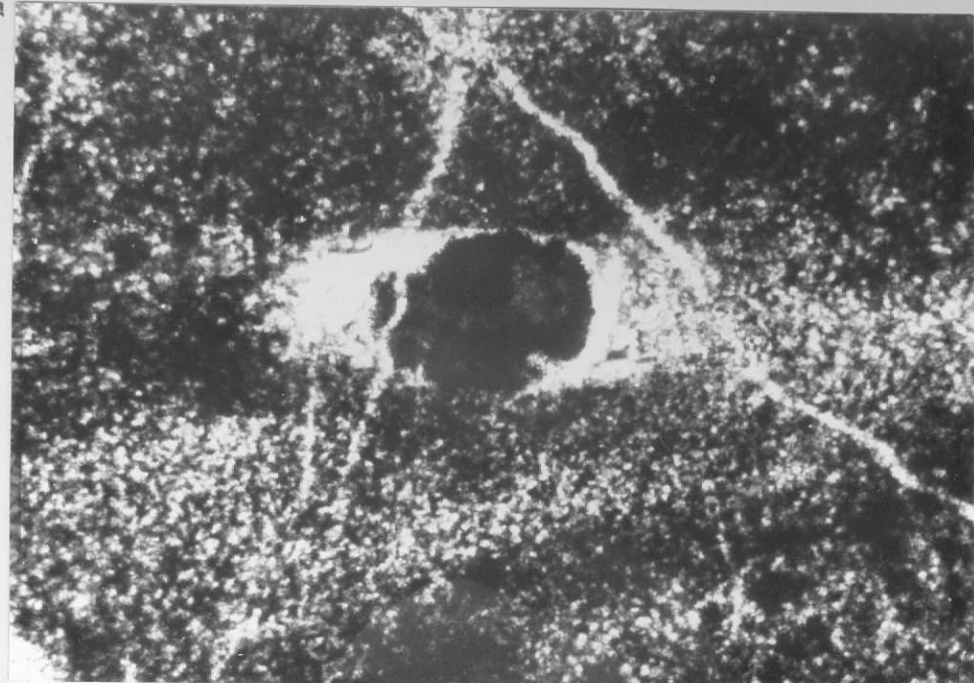
Micrita. Caliza gris margosa con elementos terrígenos, tamaño limo, y algunos fragmentos de algas fosilizadas y recristalizadas, rodadas ulteriormente.

Muestra

LS 19

x 60

NP



Muestra

LS 19

x 10

NC



A.- Crecimiento de cuarzo en la zona de sombra tectónica
de un cristal de marcasita en las pizarras silúricas

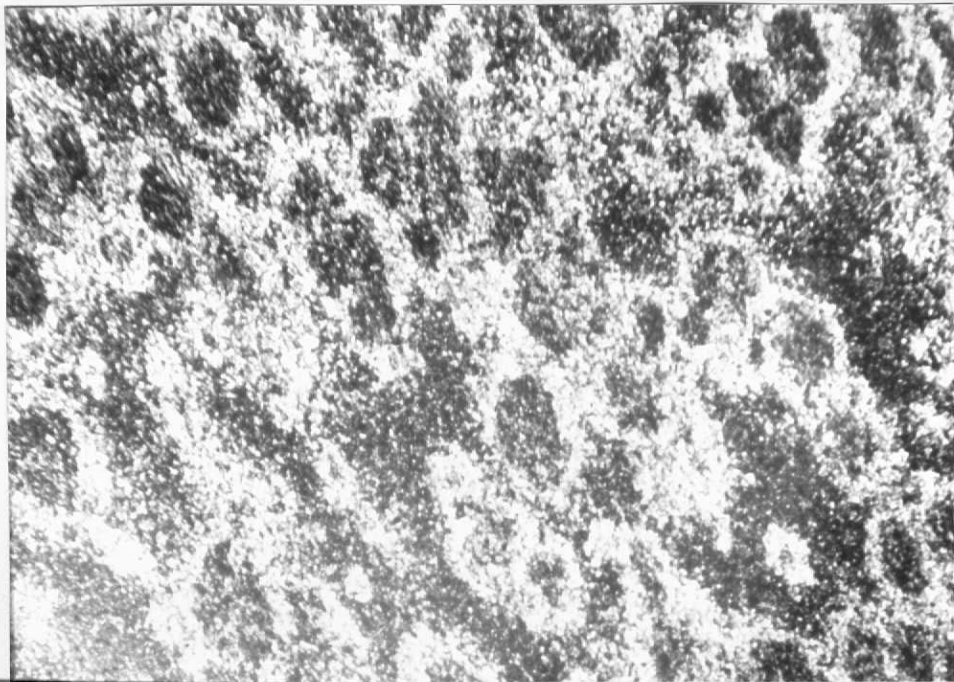
B.- Micropliegues de las vetas de cuarzo en las pizarras
carboníferas.

Muestra

LS 20

× 30

NC



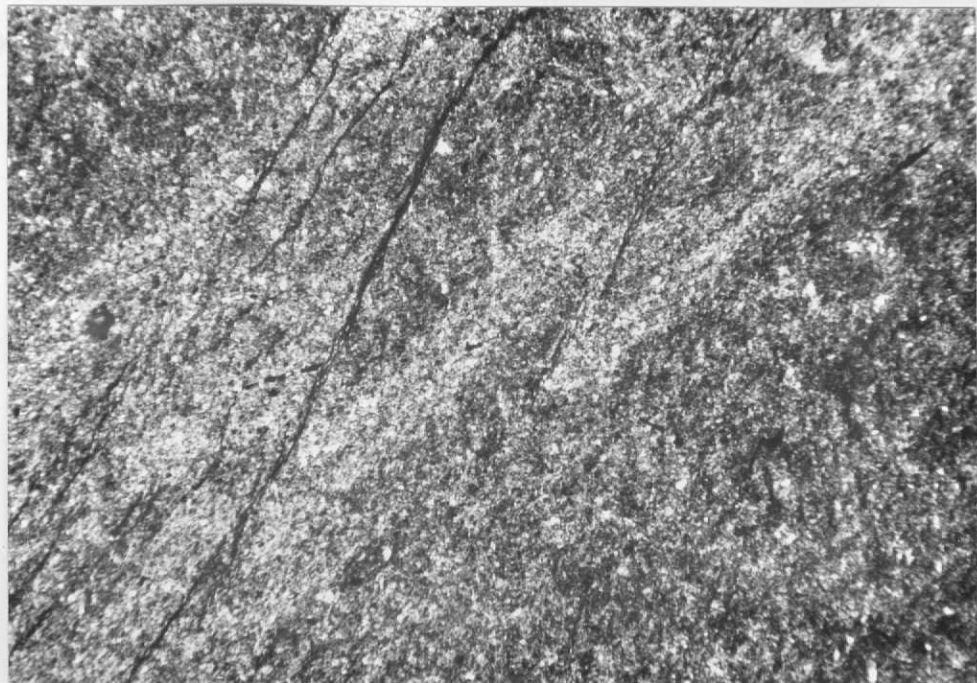
Nódulos de biotita debidos a un metamorfismo térmico de contacto en las pizarras carboníferas

Muestra

LS 30

× 20

NP



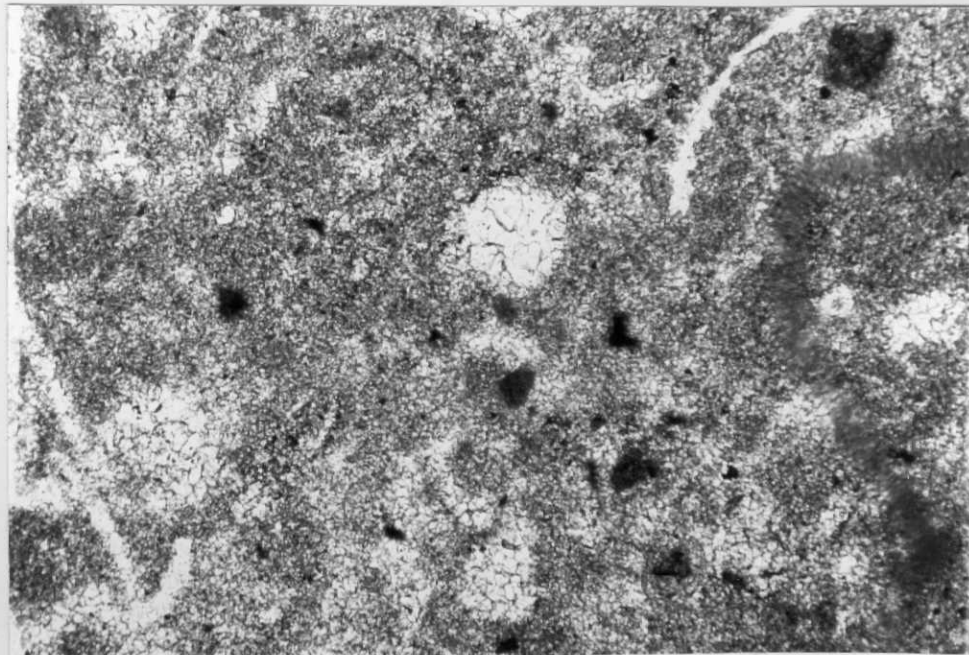
Micropliegues y trasposición de la estratificación debida
a la esquistosidad de fractua en las pizarras carboníferas

Muestra

LS 90

× 30

NC



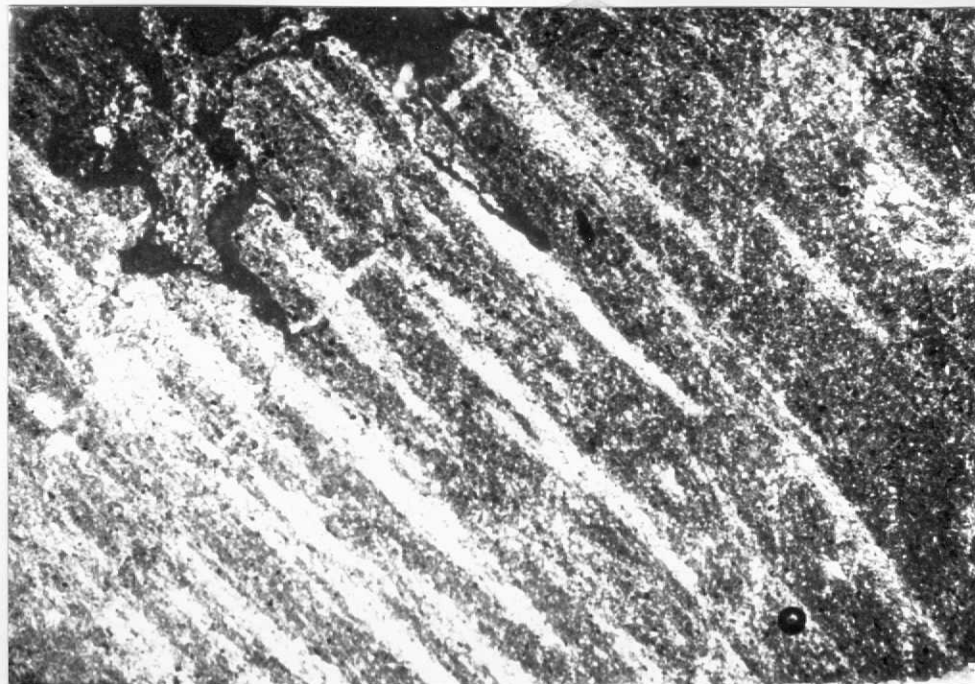
Grecimiento de nódulos, debido a una recristalización por
metamorfismo térmico en las liditas carboníferas

Muestra

LS 96

× 10

NC



Aspecto de la esquistosidad de fractura en las pizarras
carboníferas